

การศึกษาเปรียบเทียบการรั่วซึมตามขอบของวัสดุบรรณาณคอมโพสิตเรซินที่ใช้สารยึดติดชนิดมีวัสดุอัดแทรกและไม่มีวัสดุอัดแทรก

Comparative Study of Microleakage of Nanocomposite Resin Restoration Using Filled and Unfilled Adhesives

ศิรินารถ ชีวะกรีงไกร¹, สุมนา จิตติเดชาภักดี¹, ยุทธนา คุณวนาการ¹
¹ภาควิชาทันตกรรมบูรณะ คณะทันตแพทยศาสตร์ มหาวิทยาลัยเชียงใหม่

Sirinart Cheewakriengkrai¹, Sumana Jittidecharaks¹, Yuttana Khuwuttayakorn¹

¹Department of Restorative Dentistry, Faculty of Dentistry, Chiang Mai University

ชม.ทันตสาร 2552; 30(1) : 61-70
CM Dent J 2009; 30(1) : 61-70

บทคัดย่อ

การศึกษานี้มีวัตถุประสงค์เพื่อประเมินการรั่วซึมตามขอบสิ่งบูรณะเรซินคอมโพสิต ชนิดนานาในฟิลล์ ซึ่งยึดติดด้วยสารยึดติดระบบโถเกลเลอซ ชนิด 2 ขั้นตอน โดยเตรียมโพรงชนิดคลาสไฟฟี ขนาดกว้าง 3 มม. ยาว 4 มม. ลึก 2 มม. จำนวน 60 โพรง บนด้านแก้มของฟันกรามถาวรของมนุษย์ที่ถูกถอน ให้ขอบของโพรงด้านหนึ่งออกอยู่ต่ำกว่าแพรรอยด์ของเคลือบฟันและเคลือบราชฟัน 1 มม. แบ่งฟันเป็น 3 กลุ่มๆ ละ 20 ชิ้น นำมาบูรณะด้วยวัสดุเรซินคอมโพสิตชนิดนานาในฟิลล์ แซต 350 ร่วมกับการใช้สารยึดติดที่มีวัสดุอัดแทรกเป็นส่วนประกอบได้แก่ ซิงเกลบอนด์ทู และ ออปติบอนด์-โซโล พลัส และสารยึดติดที่ไม่มีวัสดุอัดแทรกเป็นส่วนประกอบ ได้แก่ ซิงเกลบอนด์ ตามวิธีที่บริษัทผู้ผลิตแนะนำ แล้วนำฟันไปเก็บไว้ในน้ำกลัน 24 ชั่วโมง ก่อนนำไปผ่านกระบวนการเทอร์โมไซค์ลิงจำนวน 500 รอบ ที่อุณหภูมิระหว่าง 5-55 °ซ เป็นเวลาอุบล 20 วินาที

Abstract

The purpose of this study was to evaluate the microleakage of nanofilled resin composite restorations when three adhesives that are filled adhesives : Adper® Single Bond 2 and OptiBond® Solo Plus and unfilled adhesive : Adper® Single Bond of Two-step Total-etch System were used. Sixty Class V cavities (3 mm. width, 4 mm. length and 2 mm. depth) were prepared on buccal surface of extracted human molars. Occlusal margins were located in enamel whereas gingival margins were located in dentin or cementum. Prepared cavities were divided into 3 groups of 20 cavities and restored with a nanofilled resin composite Filtex® Z 350 with one unfilled adhesive (Adper® Single Bond) and two filled adhesives (Adper® Single Bond 2

แล้วนำไปแช่ในสีข้อม 2% เมทธิลีน บลู เป็นเวลา 4 ชั่วโมง นำฟันมาตัดตามแนวแกนตามยาวจากด้านแก้มไปยังด้านลิ้น ประเมินค่าการรั่วซึมตามขอบด้วยกล้อง สเตอริโอลูมิโครสโคป ที่กำลังขยาย 35 เท่าและบันทึกภาพ แล้วนำไปวัดระยะการรั่วซึมโดยใช้โปรแกรมอิมเมจ ศึกษาผลที่ได้ด้วยการวิเคราะห์ทางสถิติความแปรปรวนทางเดียว พบร่วมกับการรั่วซึมตามขอบของโพรงด้านบดเคี้ยวระหว่างสารยึดติดทั้งสามชนิด ไม่มีความแตกต่างกันอย่างมีนัยสำคัญทางสถิติ เช่นเดียวกับการรั่วซึมตามขอบของโพรงด้านเหงือก แต่เมื่อเปรียบเทียบในกลุ่มสารยึดติดเดียวกันพบว่า การรั่วซึมตามขอบของโพรงด้านบดเคี้ยวมีค่าน้อยกว่าการรั่วซึมตามขอบของโพรงด้านเหงือกอย่างมีนัยสำคัญทางสถิติ ในทุกลุ่มของสารยึดติด ($P<0.05$)

คำไขรหัส: การรั่วซึมตามขอบ วัสดุยึดติด ไม่วัสดุอัดแทรก วัสดุยึดติดที่ไม่วัสดุอัดแทรก

and OptiBond[®] Solo Plus). The adhesives were used according to the manufacturers' instructions. The teeth were stored in distilled water for 24 hours before subjected to thermocycling between 5-55°C for 500 cycles with dwell time of 20 seconds and then immersed in 2% methylene blue dye for 4 hours. Each tooth was longitudinally sectioned in bucco-lingual direction. The sectioned specimens were examined under Stereomicroscope at 35X magnification and recorded with Digital camera. The distance of dye penetration were measured using Image J program. The data were analyzed by One-way ANOVA test ($p<0.05$). The results indicated that there was no significant difference in microleakage among three filled adhesives at occlusal margin as well as gingival margin. Microleakage was significantly less at occlusal margin than gingival margin ($p<0.05$) for all groups.

Keywords: microleakage, unfilled adhesive, filled adhesive

บทนำ

วัสดุเรซิโนมโพลิสิตกับสารยึดติด (adhesives) มีการใช้อย่างกว้างขวางในการทันตกรรม โดยนำไปใช้ในการบูรณะทั้งในฟันหน้าและฟันหลัง เนื่องจากมีความสวยงามเป็นที่ต้องการของผู้ป่วย แต่อย่างไรก็ตาม ยังคงมีคุณสมบัติซึ่งไม่เป็นที่ต้องการ สิ่งหนึ่งคือการเกิดการหดตัวของเรซิโนมโพลิสิต เมื่อเกิดโพลิเมอไรเซชัน (Polymerization shrinkage)⁽¹⁾ ซึ่งมีผลให้เกิดแรงดึงดูดบนฟัน หากแรงดึงดูดมากเกินไป อาจทำให้เกิดการรั่วซึมตามขอบ^(2,3) ผลที่ตามมาคือ เกิดการแตกหักบริเวณขอบของวัสดุ เกิดการเปลี่ยนสีบริเวณขอบฟัน อาการเสียฟัน และอาจนำไปสู่โรคของเนื้อเยื่า

ในโพรงประสาทฟันในที่สุด⁽⁴⁾ จึงมีความพยายามที่จะพัฒนาสารยึดติดที่นิ่นออกจากจะทำหน้าที่ในการยึดติดแล้วยังสามารถใช้ความหนาของชั้นสารยึดติด ทำหน้าที่เป็นชั้นกันกลางที่มีความยืดหยุ่นระหว่างผนังโพรงกับวัสดุเรซิโนมโพลิสิตที่อยู่ติดกัน อาศัยหลักการเรื่องความยืดหยุ่นของผนังโพรง⁽⁵⁾ ซึ่งจะต้านทานต่อการเกิดการหดตัวของเรซิโนมโพลิสิตเมื่อเกิดโพลิเมอไรเซชัน และยังทำหน้าที่เป็นตัวช่วยดูดซับแรงที่เกิดจากการบดเคี้ยวและอุณหภูมิที่เปลี่ยนแปลงในช่องปาก⁽⁶⁾ จากพื้นฐานความคิดนี้จึงมีการแนะนำให้ใช้สารยึดติดที่มีการเติมวัสดุอัดแทรกในการบูรณะฟันด้วยเรซิโนมโพลิสิต⁽⁷⁻⁸⁾ การพัฒนาคุณสมบัติของสารยึดติดโดยการเติมวัสดุอัดแทรกลงไปประกอบไปด้วยวัสดุอัดแทรกชนิดต่างๆ กัน เช่น แก้ว

ซิลิกา เป็นต้น⁽⁹⁾ ซึ่งการเติมวัสดุอุดแทรก มีรายงานพบข้อดีหลายอย่าง คือ ช่วยปรับปูจุ้งให้เกิดการแบบสนิทของขอบวัสดุ ทำให้มีการลดลงของการร้าวซึมตามขอบของวัสดุ⁽¹⁰⁻¹¹⁾ มีลักษณะทึบวงศ์ที่เพียงพอให้มองเห็นได้ชัดเจนจากภาพถ่ายรังสี ลดการหลัดตัวจากปฏิกริยาการก่อตัวของเรซินคอมโพสิต⁽¹²⁻¹³⁾ เพิ่มความแข็งแรงในการยึดเกาะของมัลกัม⁽¹⁴⁾ และช่วยลดอาการเสียหายพื้น⁽¹⁵⁾ อย่างไรก็ตามผลเสียของการเติมวัสดุอุดแทรกมีเช่นเดียวกันคือ ขนาดของวัสดุอุดแทรกที่ใหญ่มากเกินไปจะไม่สามารถแทรกเข้าไปในช่องระหว่างระหว่างเส้นใยคลอดเจน และไม่เกิดการแทรกเข้าไปในชั้นเนื้อฟัน รวมกับมีความขันหนีดของสารยึดติดเพิ่มมากขึ้น สงผลให้เกิดรอยตำหนิในชั้นไฮบริด⁽⁹⁾

จากการศึกษาของ Miyazaki และคณะ ในปี ค.ศ. 1995⁽¹⁶⁾ พบว่าปริมาณของวัสดุอุดแทรกที่เหมาะสม คือร้อยละ 10-20 โดยน้ำหนัก ให้คำแนะนำว่าต้องเนื้อฟันที่สูงสุดและได้แนะนำวิธีการใช้สารยึดติดที่มีวัสดุอุดแทรก ว่าควรให้เกิดการบ่มตัวของสารยึดติดอย่างสมบูรณ์ ปัจจุบันแต่ละบริษัทผู้ผลิตได้เติมวัสดุอุดแทรกลงในสารยึดติด ซึ่งมีความแตกต่างกันทั้งในด้านชนิดและปริมาณ อาจจะมีผลต่อการร้าวซึมตามขอบของโพรงโดยเฉพาะขอบด้านเคลือบราชฟันซึ่งเป็นส่วนเนื้อฟัน ดังนั้นในการศึกษาวิจัยครั้งนี้ จึงมีรัฐดูประ升ค์เพื่อประเมินการร้าวซึมบริเวณขอบของสิ่งบูรณะ ชนิดนาโนฟิล์มเรซินคอมโพสิต (Filtek® Z350) ยึดติดด้วยสารยึดติดระบบโพเทลเลอช ชนิด 2 ชั้นตอน 3 ชนิด คือ Adper® Single Bond 2, OptiBond® Solo Plus ซึ่งมีการเติมวัสดุอุดแทรกที่แตกต่างกัน เปรียบเทียบกับกลุ่มควบคุมที่ใช้สารยึดติด คือ Adper® Single Bond ซึ่งไม่มีวัสดุอุดแทรก

วัสดุอุดกรณ์และวิธีการ

พื้นกรรมภาระบนหรือล่าง จำนวน 60 ชี ถูกถอนจากช่องปากมนุษย์ เนื่องจากเหตุผลของโรคปริทันต์ เป็นฟันที่ไม่มีรอยผุ รอยสีกับบริเวณคอมฟัน รอยแตกหัก หรือไม่มีวัสดุบูรณะใดๆ เก็บรักษาโดยแซไว้ในสารละลายไทมอล ความเข้มข้นร้อยละ 0.2 และถูกนำมาใช้ในการทดลองระยะเวลาไม่เกิน 3 เดือน เตรียมฟันก่อนนำมาใช้โดยขัดเศษเนื้อเยื่อและคราบหินน้ำลายด้วยคิวเรทท์

จากนั้นกรอแต่งโพรงชนิดคลาสไฟฟ์ทางด้านแก้ม ขนาดกว้างในแนวใกล้กลางไกลกลางเท่ากับ 4 มม. สูงในแนวด้านบดเคี้ยวของฟัน เท่ากับ 3 มม. และลึกเท่ากับ 2 มม. โพรงที่กรอเตรียมมีลักษณะเป็นกล่องที่มีมุกภายในโพรงเรียบมน ให้ขอบเขตทางด้านหนึ่งออกอยู่ต่ำกว่ารอยต่อระหว่างเคลือบฟันและเคลือบราชฟัน 1 มม. โดยใช้ดามกรอฟันความเร็วสูงร่วมกับเข็มกรอจากเพชรทรงกระบอก (Cylindrical diamond aeroter bur, Intensiv®, Grancia, Switzerland) ขนาดเส้นผ่านศูนย์กลาง 1 มม. ร่วมกับการใช้น้ำ ไม่ต้องทำการเบเวลขอบ และต้องเปลี่ยนหัวกรอฟันใหม่ทุกๆ 10 โพรงฟัน

แบ่งฟันที่กรอเตรียมโพรงเรียบร้อยแล้วโดยการสูบออกเป็น 3 กลุ่มๆ ละ 20 ชี เพื่อบูรณะด้วยเรซินคอมโพสิต โดยใช้สารยึดติด ระบบโพเทลเลอช 2 ชั้นตอน 3 ชนิด (ดังตารางที่ 1) ได้แก่ กลุ่มที่ 1 ใช้สารยึดติด Adper® Single Bond 2 (3M ESPE Dental Product, St. Paul, MN, USA) กลุ่มที่ 2 ใช้สารยึดติด OptiBond® Solo Plus (Kerr Corporation, Orange, CA) และกลุ่มที่ 3 กลุ่มควบคุมที่ใช้สารยึดติด คือ Adper® Single Bond (3M ESPE Dental Product, St. Paul, MN, USA) โดยทำการขันตอนและวิธีการตามที่บริษัทผู้ผลิตแนะนำแต่ละชนิด (ดังตารางที่ 2) จากนั้นทำการบูรณะฟันทั้ง 3 กลุ่ม ด้วยเรซินคอมโพสิตชนิดนาโนฟิล์ม (Filtek® Z350, 3M ESPE Dental Product, St. Paul, MN, USA) สี A 3.5 ใช้เทคนิคการอุดเป็นชั้นๆ แบบแนวเฉียง ในแต่ละชั้น ขนาดร่องหนึ่งของความลึกโพรงฟัน แล้วฉาบแสงโดยใช้เครื่องชาญแสงไฮโลเจน (Spectrum 800®, Dentsply, Milford, DE, USA) โดยให้ปลายของเครื่องชาญแสงอยู่ไกล์โพรง 2 มม. ทำการชาญแสงเป็นชั้นๆ ในแต่ละชั้น ใช้เวลาชั้นละ 20 วินาที และชั้นสุดท้าย 40 วินาที (ตามคำแนะนำนำร่องอุดด้วยเรซินคอมโพสิตชนิดนาโนฟิล์ม ผลิตภัณฑ์ Filtek® Z350 ของบริษัทผู้ผลิต)

ตารางที่ 1 ส่วนประกอบ บริษัทผู้ผลิตและหมายเลขการผลิตของสารยึดติด ห้อง 3 ชนิด

Table 1 The components, manufacturers and lot numbers of the three adhesives

| สารยึดติด | ส่วนประกอบ | บริษัทผู้ผลิต | หมายเลขการผลิต |
|---|--|---|----------------|
| Scotchbond Etchant Adper® Single Bond 2 | Etch: 35% phosphoric acid Bond: Bis-GMA, HEMA, dimethacrylate, photoinitiator, methacrylate functional copolymer of polyacrylic acid Solvent: water Filler: 10% by weight with silica sized filler 5 nm. | 3M ESPE Dental product Division, St. Paul, MN, USA. | 4 CE 20060501 |
| Etchant Gel OptiBond Solo® Plus | Etch: 37.5% phosphoric acid Bond: Alkyl dimethacrylate resin, polyitaconic acid, Bis-GMA, HEMA, GDM, GPDM, camphoroquinone Solvent: ethanol Filler: Fumed silica , barium glass,sodium hexafluorosilicate (15% by weight with glass 0.4 μm) | Kerr Corporation, Orange, CA, USA | 442293 444760 |
| Scotchbond Etchant Adper® Single Bond | Etch: 35% phosphoric acid Bond: Bis-GMA, HEMA, dimethacrylates, acrylates, amines, methacrylate-functional copolymer and polyitaconic acids Solvent: water | 3M ESPE Dental product Division, St. Paul, MN, USA. | 4 CE 20040515 |

ตารางที่ 2 ขั้นตอนการใช้งานของสารยึดติด 3 ชนิด ตามคำแนะนำของบริษัทผู้ผลิต

Table 2 The bonding steps of the three adhesives according to instructions of the manufacturers

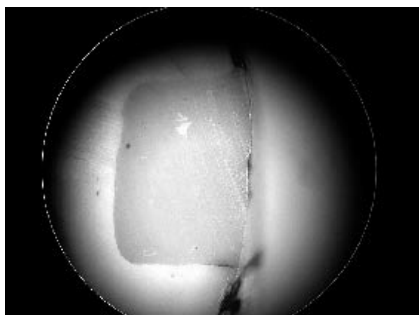
| สารยึดติด | ขั้นตอนการใช้งาน |
|----------------------|---|
| Adper® Single Bond 2 | หากอุ่นหัวสีพิงฟันในที่ให้รีบาน 15 วินาที ล้างน้ำออกให้หมดประมาณ 10 วินาที ซับน้ำออกด้วยสำลีหรือฟองน้ำชิ้นเล็กๆ ผิวพ่น “ไม่ควรแห้งเกินไปและไม่มีน้ำค้างอยู่” ท่า bonding 2-3 ชั้น ต่อเนื่องกันทันทีทั่วฟ้องฟัน เป็นเวลา 15 วินาที ใช้ธีทิกมาฯ ไปมา ประมาณมาฯ 5 วินาที เพื่อให้ตัวทำละลายระเหยแล้วจึงแสง 10 วินาที |
| OptiBond Solo® Plus | หากอุ่นหัวสีพิงฟันในที่ให้รีบาน 15 วินาที ล้างน้ำออกให้หมด เปาลมมาฯ ให้แห้งหมดๆ อย่าให้แห้งเกินไป ท่า bonding ทั่วฟ้องฟัน เป็นเวลา 15 วินาที ใช้ธีทิกไปมาฯ มาฯ ประมาณมาฯ 3 วินาที แล้วจึงแสง 20 วินาที |
| Adper® Single Bond | หากอุ่นหัวสีพิงฟันในที่ให้รีบาน 15 วินาที ล้างน้ำออกให้หมดประมาณ 10 วินาที ซับน้ำออกด้วยสำลีหรือฟองน้ำชิ้นเล็กๆ ผิวพ่น “ไม่ควรแห้งเกินไปและไม่มีน้ำค้างอยู่” ท่า bonding 2-3 ชั้น ต่อเนื่องกันทันทีทั่วฟ้องฟัน เป็นเวลา 15 วินาที ใช้ธีทิกมาฯ ไปมา ประมาณมาฯ 5 วินาที เพื่อให้ตัวทำละลายระเหยแล้วจึงแสง 10 วินาที |

หลังจากถูกแล้วตากแต่งรักดูสุดส่วนเกินบริเวณขอบและตากแต่งรูปร่างด้วยหัวขัดละเอียดคาดแดง รูปทรงสอบ

ปลายแหลม (Composhape No.4062, Intensiv®, Grancia, Switzerland) ใช้ร่วมกับน้ำ แล้วทำการขัดเรียบและขัดมันด้วยแผ่นซอฟเล็กซ์ (Sof-Lex XT® disc, 3M ESPE Dental Product, St. Paul, MN, USA) โดยไม่ใช้น้ำตามคำแนะนำนำการใช้งานของบริษัท เรียงลำดับความละเอียดในการขัด จากหยาบ ปานกลาง ละเอียด และละเอียดมาก เปลี่ยนแผ่นซอฟเล็กซ์ใหม่ทุกๆ proc พ้น ลักษณะการขัดแบบเป็นจังหวะ (intermittent strokes) ในแนวไกลักษณะ-ไกกล่าง หลังจากที่ทำการขัดแต่งเรียบร้อยแล้ว นำฟันแขวน้ำกัลลันอุณหภูมิ 37 องศาเซลเซียส เป็นเวลา 24 ชั่วโมง จากนั้นนำฟันตัวอย่างทั้งหมดใส่ในถุงตาข่าย นำเข้าเครื่องเปลี่ยนแปลงอุณหภูมิแบบเป็นจังหวะ (thermocycling) เพื่อผ่านกระบวนการเปลี่ยนแปลงอุณหภูมิเป็นจำนวน 500 รอบ โดยแต่ละรอบจะแขวน้ำเย็น ที่อุณหภูมิ 5±2 องศาเซลเซียส เป็นเวลา 20 วินาที และสลับกับแขวน้ำร้อน ที่อุณหภูมิ 55±2 องศาเซลเซียสเป็นเวลา 20 วินาที โดยมีระยะเวลา 15 วินาที เพื่อเลียนแบบสภาพภาวะจริงของสิ่งบูรณะเมื่ออยู่ในช่องปาก

จากนั้นนำฟันมาซับให้แห้ง แล้วเคลือบปิดบริเวณปลายราก ด้วยชิ้นผงชนิดเหนียว (sticky wax) และเคลือบปิดฟันอีกครั้งด้วยน้ำยาทาเล็บ 2 ชั้น (nail varnish, Revlon, NY, USA) ให้ทั่วทั้งชิ้นฟัน โดยเงินให้แห้งจากขอบฟันโดยรอบ ประมาณ 1 มม. แต่ละชั้นที่ทาให้แห้งห่างกันนาน 15 นาที และทิ้งไว้อีก 1 ชั่วโมง เพื่อให้น้ำยาทาเล็บแห้งสนิท นำฟันทั้งหมดแขวน้ำในสารละลาย เมทิลีน บจุ ความเข้มข้นร้อยละ 2 เป็นเวลา 4 ชั่วโมง จากนั้นนำฟันทั้งหมดมาล้างน้ำกัลลัน แล้วซับให้แห้ง ยืดฟันบนบล็อกอะคริลิกในแนวนอนเพื่อช่วยคงตำแหน่งของฟันและช่วยให้สามารถตัดแบ่งฟันได้สะดวกยิ่งขึ้น ตัดผ่านกึ่งกลางฟ้องในแนวแก้มลิ้น โดยใช้แผ่นตัดกากระชร (Diamond disc, Intensiv®, Grancia, Switzerland) ร่วมกับการใช้น้ำ จะได้ฟันที่ถูกแบ่งออกเป็น 2 ส่วน นำฟันทั้งสองส่วนไปตรวจวัดค่าการร้าวซึ่มของสี โดยตรวจดูด้วยกล้อง stereoviewer ไมโครสโคป (Stereomicroscope : Nikon SMZ800, Tokyo, Japan) กำลังขยาย 35 เท่าและบันทึกภาพด้วยกล้องระบบดิจิตอล (Nikon COOLPIX 4500, Tokyo, Japan)

(ดังรูปที่ 1) เปรียบเทียบกับภาพของสเกลมาตรฐานที่ได้จากการบันทึกภาพของแผ่นสไลด์ตรวจนับเซลล์ (hemocytometer slide) ซึ่งมีสเกลมาตรฐานที่รู้ขนาดคำนวนหาระยะการรั่วซึมที่ปรากฏ โดยใช้โปรแกรมอิมเมจ เซ็งมีหน่วยเป็นมิลลิเมตร (mm.) และบันทึกค่าที่ได้ลงในตารางบันทึกผล



รูปที่ 1 แสดงภาพพื้นที่บันทึกจากกล้อง

Figure 1 Recorded lateral view of tooth

นำค่าที่ได้มาวิเคราะห์ทางสถิติ ด้วยสถิติความแปรปรวนทางเดียว (One-way ANOVA) เปรียบเทียบค่าการรั่วซึมตามขอบด้านบดเคี้ยวของสารยึดติดแต่ละกลุ่มและด้านเหงือกของสารยึดติดแต่ละชนิด ว่ามีความแตกต่างกันหรือไม่ และใช้สถิติ Independent Sample T-test เพื่อเปรียบเทียบค่าการรั่วซึมตามขอบระหว่างด้านบดเคี้ยวและด้านเหงือกในสารยึดติดแต่ละกลุ่ม

ผลการทดลอง

จากการทดลองสามารถวัดระยะการรั่วซึมของทั้ง 3 กลุ่มทดลองแสดงผลดังตารางที่ 3 และ 4

ตารางที่ 3 แสดงค่าการรั่วซึมตามขอบของโพรงด้านบดเคี้ยว (occlusal) ของสารยึดติดแต่ละชนิด

Table 3 Microleakage on occlusal margin of bondings

| สารยึดติด | ค่าการรั่วซึม (Microleakage—mm.) | | |
|----------------------|----------------------------------|---------|---------|
| | Mean±SD | Minimum | Maximum |
| Adper® Single Bond 2 | 0.07±0.12 | 0.00 | 0.36 |
| OptiBond Solo® Plus | 0.16±0.25 | 0.00 | 0.67 |
| Adper® Single Bond | 0.12±0.32 | 0.00 | 1.41 |

จากตารางที่ 3 แสดงให้เห็นว่า กลุ่มทดลองทุกกลุ่ม มีการรั่วซึมของสีระห่วงผังนังโพรงกับวัสดุบูรณะ โดยพบว่าค่าเฉลี่ยการรั่วซึมตามขอบของโพรงด้านบดเคี้ยวแตกต่างกันตามชนิดของสารยึดติดที่ใช้ โดยกลุ่มสารยึดติด OptiBond® Solo Plus มีค่าเฉลี่ยมากที่สุดคือ 0.16 ± 0.25 mm. และกลุ่มสารยึดติด Adper® Single Bond 2 มีค่าเฉลี่ยน้อยที่สุด คือ 0.07 ± 0.12 mm. แต่อย่างไรก็ตาม เมื่อเปรียบเทียบทางสถิติของค่าการรั่วซึมตามขอบของโพรงด้านบดเคี้ยวของสารยึดติดแต่ละชนิด พบว่าไม่มีความแตกต่างกันระหว่างการรั่วซึมตามขอบของโพรงด้านบดเคี้ยวในแต่ละกลุ่มสารยึดติดอย่างมีนัยสำคัญ ($p=0.515$)

ตารางที่ 4 แสดงค่าความรั่วซึมตามขอบของโพรงด้านเหงือก (gingival) ของสารยึดติดแต่ละชนิด

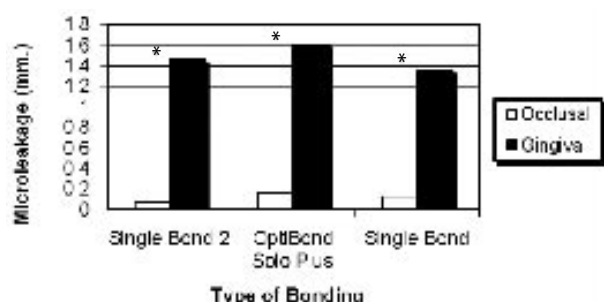
Table 4 Microleakage on gingival margin of bondings

| สารยึดติด | ค่าการรั่วซึม (Microleakage—mm.) | | |
|----------------------|----------------------------------|---------|---------|
| | Mean±SD | Minimum | Maximum |
| Adper® Single Bond 2 | 1.46±0.85 | 0.00 | 2.00 |
| OptiBond Solo® Plus | 1.60±0.74 | 0.00 | 2.00 |
| Adper® Single Bond | 1.35±0.83 | 0.00 | 2.00 |

จากตารางที่ 4 แสดงให้เห็นว่า กลุ่มทดลองทุกกลุ่ม มีการรั่วซึมของสีระห่วงผังนังโพรงกับวัสดุบูรณะ โดยพบว่าค่าเฉลี่ยการรั่วซึมขอบโพรงด้านเหงือกแตกต่างกันตามสารยึดติดที่ใช้ โดยกลุ่มสารยึดติด OptiBond Solo® Plus มีค่าเฉลี่ยมากที่สุด คือ 1.60 ± 0.74 mm. และกลุ่มสารยึดติด Adper® Single Bond มีค่าเฉลี่ยน้อยที่สุด คือ 1.35 ± 0.83 mm. เมื่อเปรียบเทียบทางสถิติของค่าการรั่วซึมตามขอบของโพรงด้านเหงือกของสารยึดติดแต่ละชนิด พบว่าไม่มีความแตกต่างกันระหว่างการรั่วซึมตามขอบของโพรงด้านเหงือกในแต่ละกลุ่มสารยึดติดอย่างมีนัยสำคัญ ($p=0.603$)

จากการวิเคราะห์โดยใช้สถิติ independent Sample T-test เปรียบเทียบค่าการรั่วซึมตามขอบของโพรงระหว่างด้านบดเคี้ยวและด้านเหงือก ในสารยึดติดแต่ละกลุ่ม ที่ระดับความเชื่อมั่น 95% พบว่ามีการรั่วซึมตามขอบของโพรงด้านบดเคี้ยวน้อยกว่าด้านเหงือกอย่างมีนัยสำคัญ

ทางสถิติ ($p < 0.05$) ดังรูปที่ 3



*Significant differences between occlusal and gingival margin ($p < 0.05$)

รูปที่ 3 กราฟแท่งแสดงการเปรียบเทียบค่าการรั่วซึมตามขอบโพรงฟันระหว่างด้านบดเคี้ยวและด้านเหงือกในสารยึดติดแต่ละกลุ่ม

Figure 3 Comparative of microleakage between occlusal and gingival margin of bonding

บทวิจารณ์

ภายใต้สภาวะการทดลองนี้ เมื่อเปรียบเทียบการเกิดการรั่วซึมตามขอบโพรงฟันระหว่างด้านบดเคี้ยวและด้านเหงือกของสารยึดติดแต่ละชนิด พบร่วมค่าการรั่วซึมตามขอบโพรงฟันด้านบดเคี้ยวและด้านเหงือกอย่างมีนัยสำคัญทางสถิติ ($p < 0.05$) (ดังรูปที่ 3) ซึ่งสอดคล้องกับผลการทดลองจากหลายการศึกษา⁽¹⁷⁻²⁰⁾ โดยพบว่าส่วนใหญ่มากกว่าครึ่งหนึ่งของแต่ละกลุ่มทดลองไม่มีการรั่วซึมตามขอบของโพรงฟันด้านบดเคี้ยว และส่วนที่มีการรั่วซึมจะไม่เกินครึ่งหนึ่งของความลึกของผนังโพรงฟัน ในขณะที่ขอบของโพรงฟันเหงือกจะมีจำนวนโพรงฟันที่ไม่พบการรั่วซึมตามขอบโดยน้อยกว่า และสามารถพบการรั่วซึมในปริมาณสูงสุดคือ มีการรั่วซึมของสีผ่านเข้าไปยังผนังโพรงฟันอีกด้านหนึ่งในทุกกลุ่ม สาเหตุที่การยึดติดของขอบโพรงฟันบดเคี้ยวซึ่งเป็นส่วนเคลือบฟัน ดีกว่าทางด้านเหงือกซึ่งเป็นส่วนของเนื้อฟันหรือเคลือบราชฟัน เป็นเพราะมีโครงสร้างทางจุลวิทยาที่ต่างกัน โดยที่เนื้อฟันมีโครงสร้างที่ซับซ้อน⁽²¹⁾ และมีองค์ประกอบทางอินทรีย์มากกว่าผิวเคลือบฟัน คือประกอบด้วยน้ำถึงร้อยละ 22 โครงสร้างมีลักษณะเป็นท่อ ซึ่งมีส่วนของแขนงโอดอนโนบลาสติก (odontoblastic process) ภายในท่อเนื้อฟัน (dental tubule) ทำให้เนื้อฟันแยกกับราชยึดติด สาเหตุอีกประการหนึ่งคืออาจเกิดจากการหดตัวขณะเกิดปฏิกิริยาการโพลิเมอร์ไวซ์ชันของวัสดุเรซิโนมโพลิสิต⁽²²⁾ ทำให้เกิดความเด่นขึ้นในเนื้อเรซิโนมโพลิสิต ซึ่งจะถูกส่งต่อไปยังบริเวณขอบที่เป็นรอยต่อ กับผนังโพรง ถ้าแรงดึงจากการหดตัวมีค่าสูงกว่าแรงยึด จะทำให้เกิดการแยกตัวของเรซิโนมโพลิสิต กับผนังโพรงฟัน ซึ่งค่าแรงยึดของสารช่วยยึดในแต่ละระบบจะแตกต่างกัน โดยทั่วไปแรงยึดกับเคลือบฟันจะสูงกว่าแรงยึดกับเนื้อฟัน⁽²³⁾ ดังนั้นจึงเกิดการหดตัวเข้าด้านบดเคี้ยว ทำให้เกิดช่องร่วงด้านเหงือก

เมื่อเปรียบเทียบระหว่างสารยึดติดแต่ละชนิด พบร่วมค่าการรั่วซึมตามขอบโพรงฟันด้านบดเคี้ยวของสารยึดติดแต่ละชนิด ไม่มีความแตกต่างกันอย่างมีนัยสำคัญ (ดังตารางที่ 3) แสดงว่ามีความสามารถในการยึดติดขอบโพรงฟันบดเคี้ยวที่เป็นผิวเคลือบฟันได้ใกล้เคียงกัน และตีกันว่าการยึดกับขอบโพรงฟันใกล้เหงือกที่เป็นผิวเคลือบราช เช่นเดียวกับผลการศึกษาของ Pradelle-Plasse และคณะ⁽¹⁷⁾ ที่ใช้สารยึดติด OptiBond® Solo Schmitt และ Lee⁽¹⁸⁾ ที่ใช้สารยึดติด OptiBond® Solo Plus และ Adper® Single Bond ชนิดชิป และคณะ⁽¹⁹⁾ ที่ใช้สารยึดติด Adper® Single Bond Silvera และคณะ⁽²⁰⁾ ที่ใช้สารยึดติด Adper® Single Bond 2 แต่จะมีความขัดแย้งกับผลการศึกษาของ Manhart และคณะ⁽²⁴⁾ ที่พบว่าไม่มีความแตกต่างกันในค่าการรั่วซึมระหว่างขอบโพรงฟันบดเคี้ยวและด้านใกล้เหงือก เมื่อใช้สารยึดติด OptiBond® Solo

ส่วนการรั่วซึมตามขอบของโพรงฟันเหงือกของสารยึดติดแต่ละชนิด ไม่มีความแตกต่างกันอย่างมีนัยสำคัญ ทางสถิติ (ดังตารางที่ 4) โดยพบว่าส่วนใหญ่ของแต่ละชนิดของสารยึดติดมีการรั่วซึมของสารยึดติดในระดับต่างๆ และสามารถพบการรั่วซึมสูงสุดเต็มขอบของโพรงฟันด้านเหงือก ใน การศึกษานี้พบว่ามีขึ้นตัวอย่างที่ทดลองในแต่ละกลุ่มสารยึดติดเพียงร้อยละ 10 เท่านั้นที่ไม่มีการรั่วซึมตามขอบของโพรงฟันเลย แสดงให้เห็นว่า การใช้สารยึดติดที่มีวัสดุอุดแทรกเป็นส่วนประกอบนั้น ไม่สามารถป้องกันการเกิดการรั่วซึมตามขอบของโพรงฟันเหงือกที่เป็นเนื้อฟันได้ สอดคล้องกับการศึกษาทดลองของหลายการ

ศึกษาคือ Pradelle-Plasse และคณะ⁽¹⁷⁾ ที่ใช้สารยึดติด OptiBond® Solo Schmitt และ Lee⁽¹⁸⁾ ที่ใช้สารยึดติด OptiBond® Solo Plus และ Adper® Single Bond ทนซิชโน่ และคณะ⁽¹⁹⁾ ที่ใช้สารยึดติด Adper® Single Bond Silvera และคณะ⁽²⁰⁾ ที่ใช้สารยึดติด Adper® Single Bond 2 อีกเช่นกัน แต่แตกต่างจากการศึกษาของ Manhart และคณะ⁽²⁴⁾ ซึ่งใช้สารยึดติด OptiBond® Solo และพบว่าส่วนใหญ่ขอบโพรงฟันด้านหนึ่งออกที่เป็นเนื้อฟันไม่มีการติดสีเลย และมีชิ้นตัวอย่างทดลองเพียงเล็กน้อยที่ติดสีการรั่วซึมในระดับต่ำ

การศึกษานี้แสดงให้เห็นว่า การมีวัสดุอัดแทรกไม่ใช่ปัจจัยเดียวที่มีผลต่อการรั่วซึมตามขอบโพรงฟัน เนื่องจากในสารยึดติดแต่ละชนิดมีปริมาณ ขนาด และชนิดของวัสดุอัดแทรกที่แตกต่างกัน ตามบริษัทผู้ผลิต เช่น วัสดุอัดแทรกซิลิกาที่มีขนาดเล็ก 5 nm. ในสารยึดติด Adper® Single Bond 2 และ วัสดุอัดแทรกแก้วที่มีขนาด 0.4 μm. ในสารยึดติด OptiBond® Solo Plus มีการศึกษาที่เชื่อกันว่า^(9,25) วัสดุอัดแทรกที่เหมาะสม ควรที่จะมีขนาดที่สามารถแทรกซึมเข้าไปในช่องว่างระหว่างโครงร่างโครงร่างเส้นใยคอลลาเจน ขนาด 20 nm. ที่ถูกกรุดกัดเอาส่วนของแร่ธาตุออกไปแล้วได้ เพื่อสร้างชั้นไอบริดที่แข็งแรงขึ้น ในการศึกษานี้ขนาดของวัสดุอัดแทรกที่เติมเข้าใน OptiBond® Solo Plus อาจมีขนาดใหญ่เกินไป ไม่สามารถแทรกเข้าในช่องว่างดังกล่าวได้ ทำให้คุณสมบัติของชั้นไอบริดที่จะด้านทันต์ต่อแรงกดตัวของเรซิโน่คอมโพสิตด้อยลงไป จึงอาจจะส่งผลกระทบต่อการรั่วซึมตามขอบโพรงได้ สำหรับสารยึดติด Adper® Single Bond 2 ที่ใส่วัสดุขัดแทรกซิลิกา ทางบริษัทผู้ผลิตได้กล่าวอ้างว่ามีการพัฒนาให้วัสดุอัดแทรกสามารถกัดลึกเข้ากับช่องว่างระหว่างโครงร่างเส้นใยคอลลาเจนได้ดีขึ้น โดยการใช้เลนบริเวณผิวของวัสดุอัดแทรกซิลิกา ทำให้วัสดุอัดแทรกไม่เกาะกลุ่มกัน มีการกระจายตัวสม่ำเสมอในส่วนของเรซิโน่และสามารถแทรกซึมเข้าไปในส่วนเนื้อฟันได้ดีขึ้น⁽²⁶⁾ แต่ผลการรั่วซึมตามขอบโพรงของสารยึดติด Adper® Single Bond 2 ที่ได้ในการศึกษานี้ไม่มีความแตกต่างกับสารยึดติดอื่นๆ แต่อย่างใด

เมื่อพิจารณาถึงปริมาณของวัสดุอัดแทรกที่เติมเข้าไปในสารยึดติด 2 ชนิด คือ Adper® Single Bond 2 และ สารยึดติด OptiBond® Solo Plus ในปริมาณร้อยละ 10-15 (ดังตารางที่ 1) เป็นปริมาณที่เหมาะสมตามที่ Miyazaki และคณะ⁽¹⁶⁾ แนะนำ คือวัสดุอัดแทรกที่เติมในปริมาณที่เหมาะสมสมร้อยละ 10-20 จะทำให้ได้ค่ากำลังแรงยึดสูงที่สุด ผลงานให้ได้คุณภาพการยึดติดกับผนังโพรงฟันได้ดี ในการศึกษานี้ เมื่อเปรียบเทียบสารยึดติดที่ไม่มีวัสดุอัดแทรกหรือเติมวัสดุอัดแทรกในปริมาณตั้งกล่าว ผลการวิจัยที่ได้มีความแตกต่างของการรั่วซึมตามขอบโพรงของสารยึดติดแต่ละชนิด อย่างมีนัยสำคัญทางสถิติเช่นกัน

ภายใต้เงื่อนไขการทดลองศึกษาวิจัยครั้งนี้ได้ศึกษาปัจจัยด้านการรั่วซึมตามขอบโพรงฟันเพียงอย่างเดียว แต่ก็ยังมีอีกหลายรายการศึกษาที่เกี่ยวข้องกับการเปรียบเทียบประสิทธิภาพสารยึดติดที่มีวัสดุอัดแทรกและไม่มีวัสดุอัดแทรก ซึ่งให้ผลที่ไม่แตกต่างกัน ดังเช่นการศึกษาของ Swift และคณะ⁽²⁷⁾ ที่คุณลักษณะของการรั่วซึมตามขอบจากอัตราการยึดอยู่ของวัสดุ ที่ใช้สารยึดติดที่มีวัสดุอัดแทรกและไม่มีวัสดุอัดแทรก หรือการศึกษาของ Braga และคณะ⁽²⁸⁾ และ Lee และคณะ⁽²⁹⁾ ซึ่งได้ศึกษาเพิ่มเติมเกี่ยวกับค่าแรงยึดแบบดึง (tensile bond strength) และการหลุดออกของวัสดุที่ใช้สารยึดติดที่มีวัสดุอัดแทรกและไม่มีวัสดุอัดแทรก ก็ได้ผลที่ไม่แตกต่างกันอย่างมีนัยสำคัญเช่นเดียวกัน

จะเห็นว่าการรั่วซึมตามขอบโพรงทั้งด้านบดเดียว และด้านหนึ่งยกยังคงเป็นปัญหาที่สำคัญทางคลินิก ภายใต้สภาวะการทดลองนี้ พบร่วมสารยึดติดที่มีวัสดุอัดแทรกยังไม่สามารถป้องกันการเกิดการรั่วซึมตามขอบโพรงได้อย่างสมบูรณ์ ดังนั้นการเติมวัสดุอัดแทรกในสารยึดติด จึงอาจไม่ใช่ปัจจัยเดียวที่ช่วยลดการรั่วซึมตามขอบโพรงฟัน ยังอาจขึ้นอยู่กับปัจจัยอื่นๆ เช่น ขนาดโพรงฟัน อายุของฟัน แรงเคี้นที่สะสมในเนื้อฟัน ประกอบกับปัจจัยบันมีการพัฒนาโดยเติมวัสดุอัดแทรกที่ต่างชนิดกันทั้งด้านขนาดและปริมาณในส่วนประกอบ จึงมีความจำเป็นที่ต้องศึกษาเพิ่มเติมในปัจจัยด้านอื่นๆ ของสารยึดติดที่มีวัสดุอัดแทรกต่อไป

บทสรุป

จากการศึกษาของการร่วมชี้มตามขอบโพรงของกราดูฟันคลาสไฟฟ์ ด้วยเรซินคอมโพลิตชนิดนาโนฟิล์ ร่วมกับการใช้สารยึดติดที่ไม่มีวัสดุอัดแทรก (กลุ่มควบคุม) และสารยึดติด 2 ชนิดที่มีวัสดุอัดแทรกครั้งนี้ พบว่า

1. การร่วมชี้มตามขอบโพรงด้านบดเคี้ยวของสารยึดติดแต่ละชนิด ไม่มีความแตกต่างกันอย่างมีนัยสำคัญทางสถิติ ($p = 0.515$)

2. การร่วมชี้มตามขอบโพรงด้านเหงือกของสารยึดติดแต่ละชนิด ไม่มีความแตกต่างกันอย่างมีนัยสำคัญทางสถิติ ($p = 0.603$)

3. สารยึดติดแต่ละชนิด มีค่าการร่วมชี้มตามขอบโพรงด้านบดเคี้ยวน้อยกว่าทางด้านเหงือกอย่างมีนัยสำคัญทางสถิติ ($p = 0.00$)

4. สารยึดติดที่ไม่มีวัสดุอัดแทรก และชนิดที่มีวัสดุอัดแทรก ไม่สามารถป้องกันการเกิดการร่วมชี้มตามขอบโพรงทั้งทางด้านบดเคี้ยวและทางด้านเหงือกได้อย่างสมบูรณ์

กิตติกรรมประการ

ผู้วิจัยขอขอบคุณ คณะทันตแพทยศาสตร์ มหาวิทยาลัย เชียงใหม่ สำหรับทุนสนับสนุนงานวิจัย รศ.ทพ. มนตรี จันทร์มังกร ที่เอื้อเพื่อสถานที่ในการดำเนินงาน วิจัย ผศ.ทพญ.ทัดจันทร์ ครองบำรุง ที่ให้คำแนะนำในการแปลผลการทดลอง อ.ทพ. เทพรัตน์ เขมาลีลาภุญ และ ผศ.ทพ.ศิริพงศ์ ศิริมงคลวัฒน์ ที่ให้คำปรึกษา และแนะนำการใช้เครื่องเทอร์โมไซคลิง อ.ทพ. นฤมลล์ คงวนิช ที่ให้คำปรึกษาและแนะนำการใช้สกิดในการทดสอบข้อมูล บริษัท 3M ESPE ประเทศไทย จำกัด และ บริษัท Kerr ประเทศไทย จำกัด ที่ได้เอื้อเฟื้อวัสดุที่ใช้ในงานวิจัย เจ้าหน้าที่ห้องปฏิบัติการพิชัย MD4 ภาควิชาโนติเวชศาสตร์ คณะแพทยศาสตร์ มหาวิทยาลัย เชียงใหม่ ที่ให้คำปรึกษาและแนะนำการใช้กล้อง stereoview ไมโครสโคป

เอกสารอ้างอิง

1. เฉลิมพล ลี้ไวโรจน์ และมนตรี จันทร์มังกร. การบูรณะฟันหลังด้วยวัสดุสีเมืองฟัน. ชั้นต้าการพิมพ์ กรุงเทพฯ 2549:168-184.
2. Kidd EAM. Microleakage: a review. *J Dent* 1976; 4:199-205.
3. Going RE. Microleakage around dental restorations: a summarizing review. *J Am Dent Assoc* 1972; 84:1349-1357.
4. Brännström M. Communication between The oral cavity and the dental pulp associated with restorative treatment. *Oper Dent* 1984; 9:57-68.
5. Kemp-Scholte CM, Davidson CL. Complete marginal seal of class V resin composite restorations effected by increased flexibility. *J Dent Res* 1990;69:1240-1243.
6. Van Meerbeek B, Willems G, Celis JP, Roos JR, Bream M, Lambrechts P, et al. Assessment by nano-indentation of the hardness and elasticity of the resin-dentin bonding area. *J Dent Res* 1993;72:1434-1442.
7. Swift Jr EJ, Triolo Jr P, Barkmeier WW, Bird JL, Bounds SJ. Effect of low viscosity resin on the performance of dental adhesives. *Am J Dent* 1996;9:100-104.
8. Labella R, Lambrechts P, Van Meerbeek B, Vanherle G. Polymerization shrinkage and elasticity of flowable composite and filled adhesives. *Dent Mater* 1999;15:128-137.
9. Tay FR, Moulding KM, Pashley DH. Distribution of nanofillers from a simplified-step adhesive in acid-conditioned dentine. *J Adhes Dent* 1999;1:103-117.
10. Choi KK, Condon JR, Ferracane JL. The effects of adhesive thickness on polymerization contraction stress of composite. *J Dent Res* 2000;79:812-817.

11. Deliperi S, Bardwell DN, Papathanasiou A, Perry R. Microleakage of resin based liner materials and condensable composites using filled and unfilled adhesives. *Am J Dent* 2003;16:351-355.
12. Montes MAJR, Goes MF, Cunha MRB, Soares AB. A morphological and tensile bond strength evaluation of an unfilled adhesive with low-viscosity composites and a filled adhesive in one and two coats. *J Dent* 2001; 29:435-441.
13. Unterbrink GL, Liebenberg WH. Flowable resin composites as filled adhesives literature review and clinical recommendations. *Quintessence Int* 1999;30:249-257.
14. Bagley AL, Wakefield CW, Robbins JW. In vitro comparison of filled and unfilled universal bonding agents of amalgam to dentin. *Oper Dent* 1994;19:97-101.
15. Boghosian A. Clinical evaluation of a filled adhesive system in class 5 restorations. *Compendium* 1996;17:750-757.
16. Miyazaki M, Ando S, Hinoura K, Onose H, Moore BK. Influence of filler to bonding agents on shear bond strength to bovine dentin. *Dent Mater* 1995;11:234-238.
17. Pradelle-Plasse N, Nedchad S, Tavernier B, Colo P. Effect of dentin adhesives on the enamel-dentin/composite interfacial micro-leakage. *Am J Dent* 2001;14:344-348
18. Schmitt DC, Lee J. Microleakage of adhesive resin systems in the primary and permanent dentition. *Pediatr Dent* 2002;24:587-593.
19. ตนุชีษณ์ พนมยงค์, นาฏยา วงศ์ปาน, ชลธชา ห้านิรัติศัย, พิศลย์ เสนาวงษ์. การรักษาตามขอบ โครงฟันคลาสไฟฟ์ที่บูรณาด้วยเรซิโนมโพลิเมอร์โดยใช้ วิธีอุดที่แตกต่างกัน. ว.ทั้มต 2548;55:45-51.
20. Silvera de AC, Incerti da ST, Ogliari FA. Meirelee SS, Piva E, Demarco FF. Micro-leakage of seven adhesive systems in enamel and dentin. *J Contemp Dent Pract* 2006; 7:26-33.
21. Marshall Jr. GW, Marshall SJ, Kinney JH, Balooch M. The dentin substrate: structure and properties related to bonding. *J Dent* 1997; 25:441-458.
22. ปั้นมา ชัยเดชวนิชกุล, สุวิทย์ วิมลจิตต์, ชาญกริต สาธร. การเปรียบเทียบการรักษาตามขอบของโครงฟันคลาสฟูเม่กับบูรณาด้วยคอมโพลิเมอร์เรซิโนนิดกัด แห่นได้และชนิดไฮบริด. ว.ทั้มต 2545;5:98-103.
23. Swift Jr EJ, Perdigao J, Heymann HO. Bonding to enamel and dentin : a brief history and state of the art. *Quintessence Int* 1995; 26:95-110.
24. Manhart J, Chen HY, Mehl A, Weber K, Hickel R. Marginal quality and microleakage of adhesive class V restoration. *J Dent* 2001; 29:123-130.
25. Tay FR, Pashley DH, Yiu C, Cheong C, Hashimoto M, Itou K, Yoshiyama M, King NM. Nanoleakage types and potential implications: Evidence from unfilled and filled adhesives with the same resin composition. *Am J Dent* 2004;17:182-190.
26. Adper™ SingleBondPlus adhesive [homepage on the Internet]. 3MESPE. Available from: <http://www.3MESPE.com/>.
27. Swift Jr EJ, Perdigao J, Heymann HO, Wilder Jr AD, Bayne SC, May Jr KN, Sturdevant JR, Roberson™. Eighteen-month clinical evaluation of a filled and unfilled dentin adhesive. *J Dent* 2001;29:1-6.
28. Braga RR, Cesar PF, Gonzaga CC. Tensile bond strength of filled and unfilled adhesives to dentin. *Am J Dent* 2000;13:93-97.

29. Lee YK, Pinzon LM, O'Keefe KL, Powers JM. Effect of filler addition on the bonding parameters of dentin bonding adhesives bonded to human dentin. *Am J Dent* 2006;19: 93-97.

ขอสำเนาบทความ:

ผศ.ดร.สุมนา จิตติเดชารักษ์ ภาควิชาทันตกรรมบูรณา คณะ
ทันตแพทยศาสตร์ มหาวิทยาลัยเชียงใหม่ อ.เมือง เชียงใหม่
50202

Reprint Request:

Assist.Prof.Dr. Sumana Jittidecharaks Department
of Restorative Dentistry, Faculty of Dentistry,
Chiang Mai University, Chiang Mai 50202